

## СТАТИСТИЧЕСКОЕ ИЗУЧЕНИЕ ХИМИЧЕСКИ ПЕКУЛЯРНЫХ ЗВЕЗД

### V. СПЕКТРАЛЬНО-ДВОЙНЫЕ ЗВЕЗДЫ

*B. C. Лебедев*

Приведены наблюдаемые параметры орбит 83 спектрально-двойных звезд с химически пекулярными компонентами. Найдены функции распределения основных параметров. Сравнение с контрольной выборкой нормальных спектрально-двойных звезд показало, что распределения Ар-звезд по периодам, эксцентриситетам и амплитудам лучевых скоростей с уровнем статистической значимости 0.999 отличаются от соответствующих распределений для нормальных звезд. Оценены физические характеристики звезд, углы наклона плоскости орбит к лучу зрения, абсолютные размеры орбит, размеры полостей Роша и угловые орбитальные моменты. Найдено, что углы наклона осей вращения Ар-компонентов и их орбит не коррелируют между собой. Для четырех систем заподозрено движение линии апсид со скоростями  $(3-70) \cdot 10^{-4}$  град/сут.

The observable parameters of orbits for 83 spectroscopic binary stars with chemically peculiar components are reported. Distribution functions of the principle parameters are found. A comparison with a control sample of normal spectroscopic binary star showed that distribution of Ap stars in periods, eccentricities and amplitudes of radial velocities differ from those of normal stars with a degree of statistical significance of 0.999. Physical characteristics of stars, inclination angles of orbital planes to the line of sight, absolute sizes of orbits, the sizes of Roche lobes and angular orbital moments are estimated. It is found that inclination angles of rotation axes of Ap components and those of their orbits do not correlate with each other. For 4 systems a motion of line of apsides with velocities of  $(3-70) \cdot 10^{-4}$  grad/day is suspected.

Двойственность является широко распространенным явлением в мире звезд. Не менее 45—50 % звезд главной последовательности (ГП) входит в двойные системы [1]. Для других типов звезд доля двойных достигает 100 % [2]. Различные оценки дают встречаемость двойных среди химически пекулярных звезд (ХПЗ) в 25—45 % [3]. Изучение ХПЗ, входящих в двойные системы, сравнение их физических параметров и параметров орбит с двойными систе-

ТАБЛИЦА 1  
Исследования спектрально-двойных ХПЗ

Ссылка	Число звезд	Ссылка	Число звезд
Шенайх, 1967 [4]	13	Китамура, 1980 [9—11]	19
Абт и Сноуден, 1973 [5]	14	Сегевис, 1981 [12]	34
Яшек К. и Яшек М., 1975 [6]	16	Гинестет и др., 1982 [13]	15
Желванова, 1976 [7]	41	Жербалди и др., 1985 [14]	48
Желванова и др., 1976 [8]	38	Настоящее исследование	83

мами из нормальных звезд может помочь в решении проблемы происхождения феномена химической пекулярности. Например, только из того факта, что наблюдаются двойные системы, в которые входят нормальные и химически пекулярные компоненты, следует, по-видимому, отвергнуть гипотезу происхождения ХПЗ из обогащенной тяжелыми элементами межзвездной среды. Наличие таких смешанных пар с близкими значениями масс противоречит и гипотезе о внешнем происхождении химических аномалий, например при вспышке Сверхновой

звезды и последующей акреции обогащенного тяжелыми элементами вещества на звезды.

Часть двойных ХПЗ выделена спектроскопически и у них определены элементы орбит. Этими звездами мы и займемся в настоящей работе. За последние два десятилетия предпринимались неоднократные попытки исследования таких звезд. В табл. 1 приведены ссылки на эти исследования с указанием количества изученных в каждой работе звезд.

Из Седьмого каталога Бэттена и др. [15], из списков Медонской обсерватории [16–19] и других литературных источников нами собраны данные о параметрах орбит 83 химически пекулярных звезд. Параметры орбит приведены в табл. 2: колонка 1 — номер HD, 2 — спектральный класс (*Sp*), 3 — тип пекулярности, 4 — период  $P$ , 5 — начальная эпоха  $T_0$  (без 2 400 000), 6 — долгота перигея  $w$ , 7 — скорость центра масс  $v_0$ , 8 — эксцентриситет  $e$ , 9 — полуамплитуда лучевой скорости  $K$ , 10 — функция масс  $f(m)$  в массах Солнца, 11 — проекция размера орбиты  $a \sin i$  в радиусах Солнца, 12 — масса  $m \sin^3 i$  в массах Солнца и 13 — ссылка. Для двухспектровых систем во вторых строках табл. 2 приведены значения для вторичного компонента. Для некоторых звезд приведено несколько различных орбит, полученных разными авторами по различным наблюдательным данным.

Интересно провести сравнение параметров орбит ХПЗ и нормальных звезд. Для этого необходимо иметь контрольную выборку звезд ГП, которая имеет такое же распределение по спектральным классам, что и исследуемая выборка ХПЗ. Из каталога Бэттена и др. [15] с помощью датчика случайных чисел такая контрольная выборка была получена. В качестве спектральных классов для ХПЗ использовались такие их значения, которые находились по зависимости температура—спектральный класс для нормальных звезд, в то время как температуры ХПЗ определялись по фотометрическим индексам и их зависимостям от температуры для ХПЗ. Таким способом мы избавились от неопределенности значений спектрального класса для ХПЗ. Контрольная выборка содержит 92 звезды ГП в диапазоне *Sp* от B1 до F1, причем 90 % звезд имеют *Sp* от B8 до A3.

В то время как из 83 ХПЗ только 15 являются двухспектровыми (SB2), для нормальных звезд 32 звезды имеют измеренные характеристики второго компонента. Такое различие не случайно с уровнем значимости  $\alpha=0.975$ . Вывод этот получен по соответствующим таблицам для биномиального распределения [36]. Малый процент SB2 среди ХПЗ, по-видимому, связан с увеличивающимися трудностями обнаружения признаков второго компонента в их спектрах из-за аномально усиленных и зачастую переменных линий Ар-компонента.

Функции распределения основных наблюдаемых параметров орбит (периоды  $P$ , эксцентриситеты  $e$ , амплитуды лучевой скорости  $K$  и функции масс) приведены в табл. 3—6 для нормальных и химически пекулярных звезд: колонка 1 — интервал значений параметров, 2 — доля звезд, попавших в этот интервал для ХПЗ, 3 — доля нормальных звезд, попавших в этот интервал. Сравнение распределений методом хи-квадрат [36] показало, что распределения ХПЗ и нормальных звезд по  $\lg P$ ,  $e$ ,  $K$  значимо (с уровнем  $\alpha=0.999$ ) различаются друг от друга, в то время как распределения по функции масс статистически значимо не различаются. Для ХПЗ наблюдается недостаток короткопериодических (менее  $\sim 2$  дней), избыток сильновытянутых и малоамплитудных орбит. Средние значения эксцентриситетов и полуамплитуд лучевых скоростей для ХПЗ составляют  $\bar{e}=0.28 \pm 0.02$  и  $\bar{K}=44 \pm 5$  км/с, в то время как для нормальных звезд эти величины соответственно составляют  $0.14 \pm 0.02$  и  $78 \pm 5$  км/с. Эти различия, возможно, связаны с существованием у ХПЗ магнитных полей и вследствие этого различной эволюции динамических параметров орбит. Распределение ХПЗ по эксцентриситетам ведет себя линейно, спадая от максимума при  $e=0.0$  до нуля при  $e=0.8$ , а распределение по амплитудам лучевых скоростей — экспоненциально с характерным масштабом  $\sim 60$  км/с.

Среднее значение отношения масс для ХПЗ SB2 составляет 0.75 и почти во всех системах масса Ар-компонентов превышает массу вторичных компонентов. Ждет своего часа задача поиска и изучения ХПЗ среди вторичных компонентов

ТАБЛИЦА 2  
Параметры орбит химически необычных звезд

HD	<i>Sp</i>	Тип	<i>P</i> , дни	<i>T</i> + 2400000	<i>w</i>	<i>v</i> , км/с	<i>e</i>	<i>K</i> , км/с	<i>f</i> ( <i>m</i> )	<i>a sin i</i>	<i>m sin<sup>3</sup> i</i>	Ссылка
1	2	3	4	5	6	7	8	9	10	11	12	13
358	B8	HgMn	96.696	42056.32	77°.4	-44.6	0.52	30.4	1.70E-4	49.4	4.89	45
2019	B9	Hg	3.44276	34731.97	339	3.4	0.384	134.7	2.45E-4	8.28	2.00	45
48.2905											1.18	
2054	B8	Si	399.6	45240.60	320	4.0	0.57	8.1	1.08E-4	28.7		20
3322	B8	HgMn	4.4672235	40462.40	304	8.1	0.004	73.0	1.21E-2	52.3		24
4164	A2	Sr	33.75	23962.95	132	-4.1	0.405	16.3	1.80E-4	6.44		45
4382	B8	HgMn	36500	20577.44	270	0.0		6.0	0.82E 0	9.94		15
5737	B7	Hg	800.9	19264.20	201	-15.2	0.31	3.5	3.01E-3	4327		19
7374	B8	HgMn	272.99	42048.03	17.7	-0.6	0.47	11.3	2.84E-2	52.4		21
9996	B9	CrEu	5.6270	40281.30	208	11.4	0.02	26.5	4.09E-2	53.8		22
11291	B9	HgMn	69.92	20426.02	50	-24.8	0.30	29.6	1.63E-1	2.95		15
11529	B8	Sr	5.0109	41945.50	136	-6.9	0.08	11.6	8.04E-4	39.0		45
11905	B8	HgMn	2.997814	39010.86	20	1.3	0.22	17.7	1.60E-3	1.44		23
15144	A5	SrCrEu	2.46111	36168.01	108	5.0	0.018	98.1	2.41E-1	1.02		5
23642	A0	Si								4.77		5
										2.05		45
										1.43		
23964	B9	SiSrCr	16.7258	30293.00	309	1.7	0.055	140.6	14.5			
25267	A0	Si	5.953367	17600.95	151	24.9	0.10	35.0	7.41E-2	6.84		45
25823	B9	Si	7.227424	21944.77	121	2.3	0.48	37.6	3.24E-2	4.40		45
26961	A2	Si	1.52738	18956.64	271	19.8	0.047	46.6	3.27E-3	2.33		5
26961	A2	Si	1.5274	40004.58	111	20.0	0.023	43.1	1.27E-2	1.30		45
27295	B8	Mn	4.452064	41317.86	81	12.5	0.055	9.6	9.70E-3	1.49		15
27376	B8	Mn	5.0105	17562.27	124	17.8	0.014	63.8	1.35E-1	6.32		45
										0.56		
										0.55		
28217	B8	HgMn	20.4334	42644.75	304	15.2	0.34	64.8	6.44			
28319	F0	Sr	140.728	36489.79	231	39.6	0.75	30.9	5.21E-2	44.7		23
32364	B9	Hg	5.52242	23087.58	336	30.9	0.074	31.0	1.26E-1	57.0		45
										2.73		45
32964	B9	Hg	5.522731	44384.13	341	32.6	0.095	141.0	5.49E-1	10.6		23
										2.39		45
33647	B8	HgMn	21.2595	42349.87	55	28.2	0.365	93.5	5.28E-1	12.1		19
34364	B9	HgMn	4.434586	28402.68	251	0.0		107.2	5.29E-1	10.9		24.6
										2.46		19
37017	B2	Her	18.65	35000.	110°	32.	0.3	103.8	5.28E-1	11.3		2.38
										2.38		
										0.05		23
										0.04		
										8.76		
										9.48		
										2.29		
										10.5		

ТАБЛИЦА 2 (продолжение)

HD	$S\dot{p}$	Тип	$P$ , дни	$T + 2400000$	$w$	$v$ , км/с	$K$ , км/с	$e$	$f(m)$	$a \sin i$	$m \sin^3 i$	Ссылка
1	2	3	4	5	6	7	8	9	10	11	12	13
37403	05	Hew	29.43507	29999.61	447	26.6	0.758	145.2	1.28E 0	43.3	45.9	45
55719	A3	SrCrEu	46.344	44674.94	297	-4.4	0.426	195.8	73.5	9.36	49	
58661	B9	HgMn	1834.	40665.	210	20.7	0.3	48.5	5.36E-1	44.0		
65339	A2	SrCrEu	2380.	28004.	74	-2.2	0.56	5.0	2.07E-2	1737	21	
68351	B9	SiCr	585.4454	24962.65	87	17.8	0.24	8.	7.20E-2	312.	19	
65949	B9	Hg	21.284	43519.56	135	16.3	0.40	12.1	9.85E-2	136.	5	
72208	B9	HgMn	22.01458	43073.51	199	23.5	0.375	29.	4.45E-2	11.2		
77350	B9	SiCr	1404.4	19687.	264	-14.3	0.35	48.2	2.04E-1	19.4	24	
78346	B8	Mn	6.395237	24004.95	157	24.5	0.43	7.7	5.46E-2	200.	25	
89822	B9	HgMn	11.57907	18468.18	171	-2.6	0.26	67.4	1.98E-1	8.44	5	
90569	B8	SrCrEu	12685.4	12137.	351	-7.8	0.75	38.9	6.37E-2	8.59	45	
93030	B1	Her	1.7788	42107.72	2	-25.5	0.446	64.8	14.3	0.45	26	
94334	A0	Si	15.8307	35185.25	47	-18.7	0.305	23.0	1.61E-3	0.72	27	
98088	A8	SrCrEu	5.90513	34419.43	27.3	-9.5	0.475	22.2	1.55E-2	6.61	45	
98088	A8	SrCrEu	5.90513	41847.74	31790	-9.5	0.475	73.4	2.34E-4	8.43		
108772	F4	Sr	17.954	39243.5	314.4	-8.6	0.476	98.5	14.3	1.27	18	
116558	B9	Cr	70.651	40925.2	286	-42.5	0.42	11.0	5.07E-1	1824	5	
116558	B9	Cr	126.48	41424.	160	8.	0.4	23.0	1.61E-3	0.72	27	
116656	A1	SrSi	20.55886	36997.21	68	2.5	0.45	11.5	2.42E-3	3.70	45	
123299	A0	Si	51.420	45147.37	104	-5.6	0.537	73.4	1.55E-2	3.84		
123515	B8	Si	26.005	37744.71	23.2	-14.0	0.400	68.8	3.80E-2	35.5	29	
125548	A0	SrCrEu	1618.	34475.	151	5.2	0.202	73.4	3.96E-4	23.6	15	
134759	B8	Si	8163.	33455.	82.4	-10.9	0.21	7.5	2.34E-4	23.1	1.61	
137909	A8	SrCrEu	3833.7	28971.3	7.6	-14.2	0.35	3.4	2.29E-4	8.40		
141556	B9	HgMn	15.2565	38429.54	185.4	-18.0	0.406	9.2	2.42E-3	3.70	15	
143807	B8	Hg	35.474	41566.96	166	-16.3	0.003	135.6	1.55E-2	3.84	29	
145389	B9	HgMn	506.5	40525.2	156	-20.3	0.56	2.3	2.55E-5	4.34	33	
145502	A9	Si	5.9222	35188.28	357	-16.8	0.47	2.4	5.00E-4	21.2	15	
147869	A2	Sr	4.951	21773.09	1.4	0.0	26.4	1.43E-2	3.09	15		
159082	B9	HgMn	6.79753	22878.5	356	-34.4	0.514	46.3	1.44E-3	1.37	15	
161324	A3	SiSr	3.894977	433°	133°	-13.7	0.068	48.9	8.21E-2	6.55	24	
				40324.00	0.0	-34.9	0.0	98.9	3.98E-4	7.61	18	
								10.4	1.96	8.50		
									1.75			

ТАБЛИЦА 2 (продолжение)

HD	$s_p$	типа	$P$ , дни	$T + 2400000$	$w$	$v, \text{км/с}$	$e$	$K, \text{км/c}$	$f(m)$	$a \sin i$	$m \sin^3 i$	Ссылка
1	2	3	4	5	6	7	9	9	10	11	12	13
161480	B6	HgMn	10.526	41528.3	166	-45.9	0.06	46.5	1.09E-4	9.65	9.38	15
161698	B8	HgMn	7.2527	39250.45	352	-5.3	0.77	37.0	9.91E-3	7.70	7.47	17
161701	B9	HgMn	12.4519	39030.65	252	-18.5	0.062	52.5	1.86E-4	12.9	12.9	16
161701	B9	HgMn	12.4515	41083.06	180	-19.5	0.0	59.7	2.75E-4	14.7	14.7	19
161733	B6	HgMn	1.80519	39227.57	24	-13.9	0.40	22.8	1.71E-3	7.45	7.45	17
162588	B9	Si	6.1411	39693.56	230	-42.0	0.55	15.6	1.41E-3	1.58	1.58	15
162588	B9	Si	5.4505	39696.08	215	-42.6	0.23	32.4	1.73E-2	3.36	3.36	15
162588	B9	Si	26.768	38853.6	471	-20.8	0.39	26.6	4.08E-2	13.0	13.0	5
170000	B9	HgMn	1675.	20438.5	420	-26.9	0.16	3.2	5.48E-3	103.	103.	5
172044	B8	HgMn	9.810	27945.34	455	-31.0	0.222	28.1	2.40E-2	5.31	0.43	15
173524	B9	HgMn	9.1807	40003.22	335	-31.0	0.20	34.1	6.44	0.40	0.40	15
173524	B9	HgMn	6.36247	24589.68	353	-31.0	0.20	25.1	4.52E-2	4.77	0.08	15
174933	B9	HgMn	6.9019	42255.5	195	-49.6	0.416	29.5	5.60	0.07	0.07	15
178065	B9	HgMn	35.0225	38829.1	341	-13.3	0.03	41.7	3.59E-3	2.21	2.21	23
183056	B9	Si	8.145782	18140.80	290°	-41.0	0.45	5.7	1.45E-3	1.60	1.60	23
184552	A3	Sr	690.	40799.	261	-30.8	0.437	20.9	4.80E-4	3.52	3.52	5
187474	B9	SiCrEu	61.541	41989.07	0	-5.1	0.45	11.2	7.48E-3	3.32	3.32	34
190229	B9	HgMn	9.34635	66	-23.3	0.485	4.2	13.6	7.47E-2	136.	136.	15
191110	Hg			-8.4	0.012	51.5	1.33E-4	9.51	4.51	21	21	35
196133	A0	SiSr	87.687	31669.08	254	-8.4	0.012	57.4	10.5	0.59	0.59	35
201433	B8	Si	3.343468	42669.51	231	-9.0	0.76	32.5	8.58E-2	36.6	36.6	15
205073	A1	Si	5.4730	41127.89	73	-24.3	0.0	20.1	2.79E-3	1.32	1.32	19
207857	B9	HgMn	338.2	40473.9	26	-3.3	0.29	18.5	3.45E-3	1.91	1.91	18
208095	B6	SiSr	47.3263	24445.68	270	-6.0	0.58	2.3	2.22E-4	10.1	10.1	21
208835	B8	Si	4.72045	33473.09	263	-4.9	0.075	108.3	2.43E 0	36.2	36.2	20.9
214838	B8	HgMn	220.44	18548.7	66	-3.8	0.0	165.8	55.4	43.6	43.6	45
216494	B9	HgMn	3.42984	41989.1	254	-7.3	0.058	42.0	3.60E-2	3.91	3.91	24
216533	A2	SrCr	16.03	41246.	37	9.7	0.04	4.7	1.72E-4	81.3	81.3	24
217919	B0	Hew	17.04	40466.70	315	-30.8	0.284	42.2	1.49E-4	13.6	13.6	17
219749	B9	Si	48.304	43720.44	49.8	2.6	0.50	25.7	5.53E-2	21.2	21.2	19
220575	B8	HgMn	216.4648	41970.5	86	-8.5	0.28	18.4	1.48E-4	74.3	74.3	23

ТАБЛИЦА 3  
Распределение по периодам

$\lg(P)$	$\varphi(\text{ХПЗ})$	$\varphi(\text{норм})$	$\lg(P)$	$\varphi(\text{ХПЗ})$	$\varphi(\text{норм})$
<0.0	0.000	0.033	2.4—2.8	0.060	0.010
0.0—0.4	0.030	0.298	2.8—3.2	0.050	0.010
0.4—0.8	0.240	0.436	3.2—3.6	0.060	0.000
0.8—1.2	0.160	0.149	3.6—4.0	0.010	0.000
1.2—1.6	0.210	0.044	4.0—4.4	0.010	0.000
1.6—2.0	0.110	0.010	4.4—4.8	0.010	0.000
2.0—2.4	0.050	0.010			

нормальных спектрально-двойных звезд. Звезда HD 208095 имеет для своего  $Sp$  (B6) неприемлемо высокое значение  $m \sin^3 i = 20.9 m_{\odot}$  и нуждается в дополнительном исследовании.

На основе исследований [37, 38] было сделано заключение, что массы и светимости ХПЗ значимо не отличаются от значений для звезд ГП. Поэтому в ка-

ТАБЛИЦА 4  
Распределение  
по эксцентриситетам

$e$	$\varphi(\text{ХПЗ})$	$\varphi(\text{норм})$
0.0—0.1	0.295	0.660
0.1—0.2	0.100	0.149
0.2—0.3	0.160	0.064
0.3—0.4	0.160	0.032
0.4—0.5	0.122	0.021
0.5—0.6	0.100	0.043
0.6—0.7	0.000	0.021
0.7—0.8	0.063	0.000
0.8—0.9	0.000	0.010
0.9—1.0	0.000	0.000

ТАБЛИЦА 5  
Распределение по амплитудам  
лучевой скорости

$K, \text{км/с}$	$\varphi(\text{ХПЗ})$	$\varphi(\text{норм})$
0—20	0.360	0.063
20—40	0.260	0.238
40—60	0.100	0.175
60—80	0.100	0.151
80—100	0.050	0.063
100—120	0.080	0.127
120—140	0.020	0.071
140—160	0.010	0.040
160—180	0.010	0.040
180—200	0.010	0.008
>200	0.000	0.024

честве значений физических параметров звезд мы использовали их значения, найденные для нормальных звезд ГП [39]. Для главных компонентов определение физических параметров начиналось с оценки их эффективных температур

ТАБЛИЦА 6  
Распределение по функциям масс

$\lg f$	$\varphi(\text{ХПЗ})$	$\varphi(\text{норм})$	$\lg f$	$\varphi(\text{ХПЗ})$	$\varphi(\text{норм})$
-5.0—-4.5	0.010	0.000	-2.0—-1.5	0.120	0.224
-4.5—-4.0	0.000	0.000	-1.5—-1.0	0.200	0.266
-4.0—-3.5	0.035	0.010	-1.0—-0.5	0.240	0.245
-3.5—-3.0	0.070	0.021	-0.5—0.0	0.100	0.117
-3.0—-2.5	0.120	0.043	0.0—0.5	0.025	0.010
-2.5—-2.0	0.070	0.064	0.5—1.0	0.010	0.000

( $T_e$ ). Предварительно по работам Адельмана и Пайпер [40—54] мы нашли аналитические зависимости между  $\lg T_e$  и фотометрическими индексами в системах  $UBV$ , Стремгреновской и Женевской:

$$\begin{aligned} \lg T_e &= 3.957 - 0.730(B-V) + 2.850(B-V)^2 - 4.125(B-V)^3; \\ \lg T_e &= 3.945 - 0.345(U-B); \end{aligned}$$

$$\begin{aligned}\lg T_e &= 4.234 - 0.207(u - b); \\ \lg T_e &= 3.890 - 2.347(B_2 - V_1) + 0.750(B_2 - V_1)^2 + 27.248(B_2 - V_1)^3; \\ \lg T_e &= 0.781 - 17.525(B_2 - G) - 31.254(B_2 - G)^2 - 18.400(B_2 - G)^3.\end{aligned}$$

Используя найденные зависимости и наблюдаемые значения фотометрических индексов, мы оценили температуры звезд, а затем и остальные физические параметры (массы, светимости, радиусы, ускорения силы тяжести), пользуясь их значениями для звезд ГП [39]. Для SB-2-звезд нам известно отношение масс, что позволяет найти массу спутника, а затем и остальные параметры в предположении, что спутник — также звезда ГП. Для двухспектровых систем мы исправляли наблюдаемые цвета за вклад спутника и повторяли процедуру поиска физических параметров до сходимости. Для SB1-звезд можно только наложить верхние ограничения на значения массы спутника. Эти ограничения получаются из того факта, что в спектрах звезд не обнаруживается явных признаков второго компонента, т. е. вклад компонента в суммарный оптический спектр не превышает некоторой величины. Мы положили, что этот вклад не более 10—15 %, что дает разницу оптических светимостей около 2<sup>m</sup>. С этим значением мы и получали светимости вторичных компонентов:  $M_{V_2} = M_{V_1} + +2.0$ . Тогда остальные параметры находились по средним соотношениям для звезд ГП. В табл. 7 приведены физические характеристики звезд (для SB2 — обоих компонентов, а для SB1 — только главных компонентов): ко-

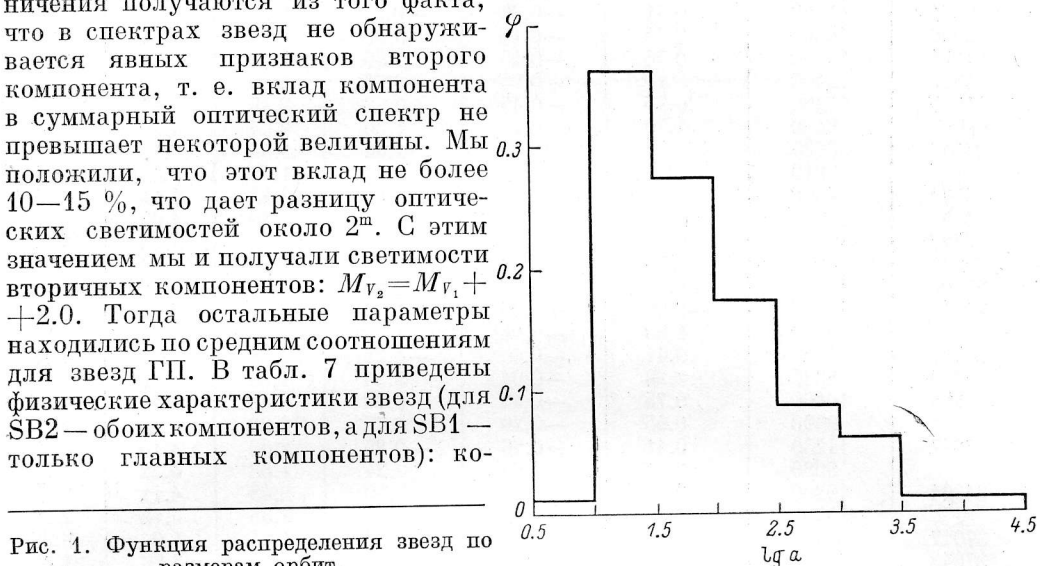


Рис. 1. Функция распределения звезд по размерам орбит.

лонка 1 — номера HD, 2 — эффективные температуры ( $T_e$ ), 2 — оптические светимости ( $M_V$ ), 4 — болометрические поправки ( $BC$ ), 5 — болометрические светимости ( $M_{bol}$ ), 6 — радиусы ( $R$ ), 7 — логарифмы ускорения силы тяжести ( $\lg g$ ) и 8 — массы звезд ( $m$ ). Значения радиусов и масс приведены в солнечных единицах.

Теперь, имея оценки масс или их верхних значений и используя определение функции масс  $f(m) = m_2^3 \sin^3 i / (m_1 + m_2)^2$ , можно получить оценки углов  $i_{\text{орб}}$  между лучом зрения и нормалью к плоскости орбиты, а затем — оценки абсолютных размеров орбит и углового орбитального момента:

$$J = (m_1 a_1^2 + m_2 a_2^2) 2\pi P^{-1}.$$

Значения этих величин приведены в табл. 8: колонка 1 — номера HD, 2 — углы  $i_{\text{орб}}$ , 3 и 4 — значения больших полуосей орбит ( $a$ ), 5 —  $\lg J$ , 6 и 7 — радиус Рюша ( $RL$ ), 8 — значком  $\times$  отмечены двухспектровые системы, для которых оценки  $i_{\text{орб}}$  и абсолютных размеров орбит более надежны, а не имеют характера только ограничений сверху или снизу.

Как и другие размеры,  $a$  и  $RL$  выражаются в радиусах Солнца, а размерность углового момента  $J$  есть  $m_\odot R_\odot^2 / \text{сут}$ . Величины радиусов Рюша вычислялись по формуле Эглетона [55]:

$$r_L = 0.49 q^{2/3} / (0.6 q^{2/3} + \ln(1 + q^{1/3})) (a_1 + a_2),$$

где  $q$  — отношение масс компонентов ( $0 < q < \infty$ ).

На рис. 1 приведено распределение величины  $\lg a_\Sigma$ , ( $a_\Sigma = a_1 + a_2$ ), которое практически линейно от максимума на  $\lg a_\Sigma = 1.25$  до  $(\lg a_\Sigma)_{\max} = 3.50$ . Рис. 2

ТАБЛИЦА 7  
Физические параметры звезд

HD	$T_e$	$M_V$	$BC$	$M_{bol}$	$R$	$\lg g$	$m$
1	2	3	4	5	6	7	8
358	13750	-0.20	-1.18	-1.38	2.96	4.15	4.49
2019	10300	0.75	-0.45	0.30	2.43	4.11	2.79
	7900	2.36	-0.04	2.32	1.65	4.21	1.65
2054	10000	0.80	-0.30	0.50	2.32	4.11	2.62
3322	11350	0.20	-0.70	-0.50	2.71	4.10	3.40
4161	9080	1.35	-0.12	1.23	2.04	4.14	2.16
4382	10600	0.75	-0.45	0.30	2.43	4.11	2.79
5737	15300	-2.25	-1.46	-3.74	6.96	3.65	7.86
7374	11250	0.41	-0.66	-0.25	2.63	4.10	3.19
9996	10300	0.75	-0.45	0.30	2.43	4.11	2.79
11291	10300	0.75	-0.45	0.30	2.43	4.11	2.79
11529	12500	0.10	-0.75	-0.65	3.60	4.09	4.13
11905	10300	0.75	-0.45	0.30	2.43	4.11	2.79
15144	8500	1.70	-0.20	1.50	2.04	4.20	2.39
23642	8820	1.53	-0.09	1.44	1.96	4.17	2.06
	7340	2.93	-0.03	2.90	1.46	4.28	1.45
23964	10300	0.75	-0.45	0.30	2.43	4.11	2.79
25267	12900	-0.15	-0.85	-1.00	2.90	4.09	3.80
25823	14250	-0.15	-1.28	-1.43	2.83	4.15	4.11
26961	8820	1.53	-0.09	1.44	1.96	4.17	2.06
27295	11600	-0.15	-0.74	-0.89	3.34	4.00	4.05
27376	12950	-0.20	-0.90	-1.10	2.90	4.09	3.90
	8550	1.80	-0.08	1.72	1.86	4.18	1.91
28217	11250	0.41	-0.66	-0.25	2.63	4.10	3.19
28319	8030	2.28	-0.04	2.24	1.68	4.22	1.69
32964	10600	0.75	-0.45	0.30	2.43	4.11	2.79
	9600	0.95	-0.20	0.75	2.20	4.13	2.44
33647	11250	0.41	-0.66	-0.25	2.63	4.10	3.19
	8030	2.28	-0.04	2.24	1.68	4.22	2.69
34364	10300	0.75	-0.45	0.30	2.43	4.11	2.79
	10000	0.82	-0.34	0.48	2.35	4.12	2.70
37017	21000	-2.28	-2.12	-4.40	4.84	4.04	9.33
37043	33300	-4.22	-3.10	-7.32	7.76	3.99	21.3
	25300	-3.10	-2.40	-5.50	5.70	4.01	12.5
58661	11250	0.41	-0.66	-0.25	2.63	4.10	3.19
65339	8350	1.93	-0.06	1.87	1.79	4.19	1.82
65949	9080	1.35	-0.12	1.23	2.04	4.15	2.16
68351	10800	-0.50	-0.58	-1.08	4.13	3.60	2.47
72208	10300	0.75	-0.45	0.30	2.43	4.11	2.79
77350	10400	-0.20	-0.50	-0.70	3.78	3.85	3.67
78316	13150	-0.50	-1.06	-1.56	3.49	3.75	2.48
89822	10300	-0.75	-0.45	0.30	2.43	4.11	2.79
	8030	2.28	-0.04	2.24	1.68	4.22	1.67
90569	10500	0.40	-0.52	-0.12	2.84	4.00	2.93
93030	22300	-2.40	-2.20	-4.60	4.96	4.03	9.95
94334	9460	1.11	-0.17	0.94	2.15	4.14	2.32
98088	8050	2.28	-0.04	2.24	1.68	4.22	1.69
	6920	3.41	-0.02	3.39	1.30	4.32	1.27
108772	7020	3.28	-0.02	3.26	1.34	4.31	1.32
116458	11000	0.50	-0.55	-0.05	2.56	4.10	3.08
116656	9460	1.11	-0.17	0.94	2.15	4.14	2.32
	9500	1.07	-0.17	0.90	2.20	4.14	2.36
123299	10300	0.75	-0.45	0.30	2.43	4.11	2.79
123515	10300	0.75	-0.45	0.30	2.43	4.11	2.79
125248	9350	1.20	-0.13	1.07	2.10	4.15	2.28
134759	11250	0.41	-0.66	-0.25	2.63	4.10	3.19
137909	8450	1.40	-0.20	1.20	2.37	4.15	2.88
143807	10500	0.00	-0.52	-0.52	3.40	4.05	4.72
145389	11700	0.20	-0.76	-0.56	2.80	3.90	2.26
145502	8820	1.53	-0.09	1.44	1.96	4.17	2.06
147869	9700	0.89	-0.24	0.65	2.29	4.13	2.56
159082	9790	0.89	-0.24	0.65	2.29	4.13	2.56
161321	8820	1.53	-0.09	1.44	1.96	4.17	2.06
	8360	1.92	-0.06	1.86	1.80	4.19	1.84
161480	15400	-1.45	-1.30	-2.45	3.87	4.06	6.31

ТАБЛИЦА 7 (продолжение)

HD	$T_e$	$M_V$	$BC$	$M_{bol}$	$R$	$\lg g$	$m$
1	2	3	4	5	6	7	8
161698	11250	0.41	-0.66	-0.25	2.63	4.10	3.19
164704	10300	0.75	-0.45	0.30	2.43	4.11	2.79
161733	14250	-0.70	-1.15	-1.85	3.42	4.08	5.08
162588	9300	1.11	-0.17	0.94	2.15	4.14	2.32
162656	10300	0.75	-0.45	0.30	2.43	4.11	2.79
170000	12200	0.10	-0.86	-0.76	2.77	4.09	3.60
172044	12300	0.10	-0.86	-0.76	2.77	4.09	3.60
173524	11800	0.30	-0.70	-0.40	2.70	4.10	3.28
	10600	0.70	-0.50	0.20	2.80	4.11	2.81
174933	11250	0.15	-0.67	-0.52	2.98	4.20	5.11
178065	10300	0.75	-0.45	0.30	2.43	4.11	2.79
183056	12350	-0.50	-0.90	-1.40	3.72	4.00	5.02
184552	9080	1.35	-0.12	1.23	2.04	4.15	2.16
187474	10800	0.58	-0.55	0.03	2.53	4.11	3.00
190229	12950	-0.15	-0.90	-1.05	2.90	4.10	3.80
191110	9790	0.89	-0.24	0.65	2.29	4.13	2.56
	9460	1.11	-0.17	0.94	2.15	4.14	2.32
196133	9790	0.89	-0.24	0.65	2.29	4.13	2.56
201433	11250	0.41	-0.66	-0.25	2.63	4.10	3.19
205073	9100	1.35	-0.12	1.23	2.04	4.15	2.16
207857	12150	-0.50	-0.90	-1.40	3.72	4.00	5.02
208835	11250	0.41	-0.66	-0.25	2.63	4.10	3.19
211838	11250	0.41	-0.66	-0.25	2.63	4.10	3.19
216494	10300	0.75	-0.45	0.30	2.43	4.11	2.79
	9460	1.11	-0.17	0.94	2.15	4.14	2.32
216533	8950	1.44	-0.10	1.34	2.00	4.15	2.11
217919	29800	-3.70	-2.86	-6.56	6.86	4.00	17.1
219749	11000	0.41	-0.66	-0.25	2.63	4.10	3.19
220575	11250	0.41	-0.66	-0.25	2.63	4.10	3.19

ТАБЛИЦА 8  
Ориентация и абсолютные размеры орбит

HD	$i_{\text{орб}}$	$a_1$	$a_2$	$\lg J$	$R_{L_1}$	$R_{L_2}$	
1	2	3	4	5	6	7	8
358	88.8	49.1	115.	3.37	74.6	50.5	
2019	78.8	4.99	8.43	2.57	5.70	4.49	*
2054	54.7	35.2	61.4	1.68	41.3	32.1	
3322	59.1	60.9	121	2.00	79.9	58.4	
4161	83.5	6.48	10.8	2.53	7.06	5.03	
4382	23.2	25.2	46.3	2.86	30.9	23.4	
5737	79.9	4395	6520	4.81	4513	3770	
7374	14.8	205.	407.	3.50	269.	197.	
9996	32.0	102.	186.	3.27	125.	94.4	
11291	22.7	7.64	14.0	2.71	9.36	7.09	
11529	71.5	41.1	88.9	3.30	58.1	40.9	
11905	9.3	7.04	12.9	2.69	8.62	6.54	
15144	12.9	4.58	8.82	2.49	5.85	4.34	
23642	86.7	4.78	6.79	2.46	4.74	4.04	*
23964	47.0	15.7	28.8	2.86	19.2	14.6	
25267	33.0	8.08	16.5	2.90	10.9	7.84	
25823	15.2	8.89	19.6	2.96	12.6	8.76	
26961	22.4	3.16	5.47	2.35	3.52	2.81	
27295	7.5	6.45	14.0	2.88	9.15	6.42	
27376	31.6	12.1	24.6	3.34	16.2	11.7	*
28217	41.3	17.7	35.1	2.96	23.2	17.0	
28319	61.6	64.8	96.0	2.90	66.5	55.5	
32964	73.5	11.4	13.0	2.95	9.53	8.69	*
33647	14.6	124.	147.	4.50	107.	98.7	*
34364	74.0	9.11	9.41	2.85	7.07	6.97	*
37047	30.0	24.0	48.8	3.66	31.7	21.5	
37043	65.1	47.7	81.3	4.45	54.9	43.1	*
58661	29.0	356.	706.	5.42	466.	341.	

ТАБЛИЦА 8 (продолжение)

HD	$i_{\text{оп6}}$	$a_1$	$a_2$	$\lg J$	$R_{L_1}$	$R_{L_2}$	
1	2	3	4	5	6	7	8
65339	47.2	425.	656.	3.34	451.	370.	
65949	37.5	18.4	30.5	2.76	20.7	16.4	
68351	37.9	222.	266.	3.46	193.	177.	
72208	84.8	19.5	34.4	2.92	23.4	17.8	
77350	38.7	320.	615.	3.69	408.	303.	
78316	50.9	10.9	13.1	2.80	9.48	8.71	
89822	40.2	13.3	22.2	2.85	15.1	11.9	*
90569	75.8	1880	2150	4.04	1574	1480	
93030	8.9	4.67	10.3	3.39	6.72	4.68	
94334	25.9	15.1	25.8	2.76	17.4	13.7	
98088	90.	8.43	11.3	2.48	7.97	6.99	*
108772	13.9	15.4	22.3	2.43	15.5	13.1	
116458	5.3	41.3	78.9	3.13	52.4	39.0	
116656	62.3	26.7	26.2	3.00	20.0	20.1	*
123299	2.1	48.7	53.0	3.23	39.3	37.8	
123515	65.8	21.8	40.1	2.96	26.8	20.3	
125248	44.8	332.	557.	3.42	377.	298.	
134759	32.2	965.	1910	3.83	1263	924.	
137909	78.0	651.	1065	3.72	724.	579.	
143807	3.3	23.4	61.6	3.22	39.5	25.4	
145389	6.7	183.	240.	3.34	170.	150.	
145502	23.4	7.80	12.7	2.54	8.65	6.91	
147869	11.0	7.16	12.3	2.66	8.30	6.48	
159082	47.8	8.84	15.2	2.70	10.3	8.04	
161321	79.6	7.74	8.66	2.62	6.38	6.05	*
161480	48.3	12.9	29.2	3.31	19.0	13.1	
161698	22.3	8.90	17.6	2.81	11.6	8.52	
161701	84.0	13.0	23.8	2.83	15.9	12.1	
161733	12.0	36.0	84.6	4.88	54.8	37.1	
162588	11.3	8.04	13.7	2.62	9.26	7.26	
162656	26.8	7.46	13.7	2.71	9.15	6.94	
170000	36.8	21.7	44.4	3.08	29.2	21.1	
172044	17.9	335	688.	3.67	452.	326.	
173524	17.1	16.1	18.9	3.11	13.8	12.8	
174933	18.7	6.90	20.5	2.98	13.0	7.94	
178065	10.5	8.76	16.0	2.74	10.7	8.42	
183056	8.1	25.1	61.2	3.29	39.5	26.3	
184552	20.1	9.75	16.0	2.62	10.9	8.62	
187474	46.2	188.	356.	3.45	237.	177.	
190229	6.7	38.4	78.4	3.24	51.6	37.3	
191110	39.3	15.0	16.6	2.91	12.2	11.7	
196133	48.8	48.7	83.6	3.07	56.4	44.1	
201433	10.2	7.48	9.32	2.88	6.69	6.05	
205073	14.9	7.40	12.3	2.56	8.34	6.62	
207857	6.2	93.2	227.	3.44	147.	97.7	
208835	35.7	6.70	13.3	2.76	8.78	6.43	
211838	69.6	86.8	172.	3.41	114.	83.2	
216494	60.0	7.45	8.96	2.80	6.48	5.96	*
216533	5.6	15.2	25.2	2.71	17.0	13.6	
217919	33.7	24.5	56.4	4.09	36.4	25.0	
219749	42.3	31.5	62.4	3.09	41.2	30.2	
220575	60.1	85.7	170.	3.31	112.	82.2	

дает диаграмму масса—угловой орбитальный момент для исследуемых звезд. На этом рисунке сплошной линией показана универсальная зависимость для небесных тел (от Земли до Метагалактики) из обзора Тримбл [56].

Сравнение размеров полостей Роша с радиусами звезд показывает, что ХПЗ далеки от заполнения полостей Роша, т. е. исследуемые звезды являются по общепринятой классификации разделенными системами.

Для звезд HD 55719 и HD 141556 мы не приводим значений физических параметров, так как для них не удалось согласовать условия  $m_2 < m_1$  и  $\sin i \leq 1$  при полученных значениях  $m_1$  и функции масс. Для 19 Hg—Mn ХПЗ углы наклона  $i_{\text{оп6}}$  оценивались в работах Китамуры [9—11]. Сравнение его и наших

определений приведено на рис. 3. Видно, что согласие между ними хорошее, что оправдывает описанный выше алгоритм оценки углов  $i_{\text{орб}}$ . Для 25 звезд из нашего списка спектрально-двойных в работе [57] оценивались углы между лучом зрения и осью вращения Ар-компонентов  $i_{\text{бр}}$ . На рис. 4 приведено сравнение углов  $i_{\text{орб}}$  и  $i_{\text{бр}}$ . Не наблюдается сколько-нибудь значимой корреляции между значениями этих углов, что указывает на то, что направления вращательного и орбитального моментов непараллельны.

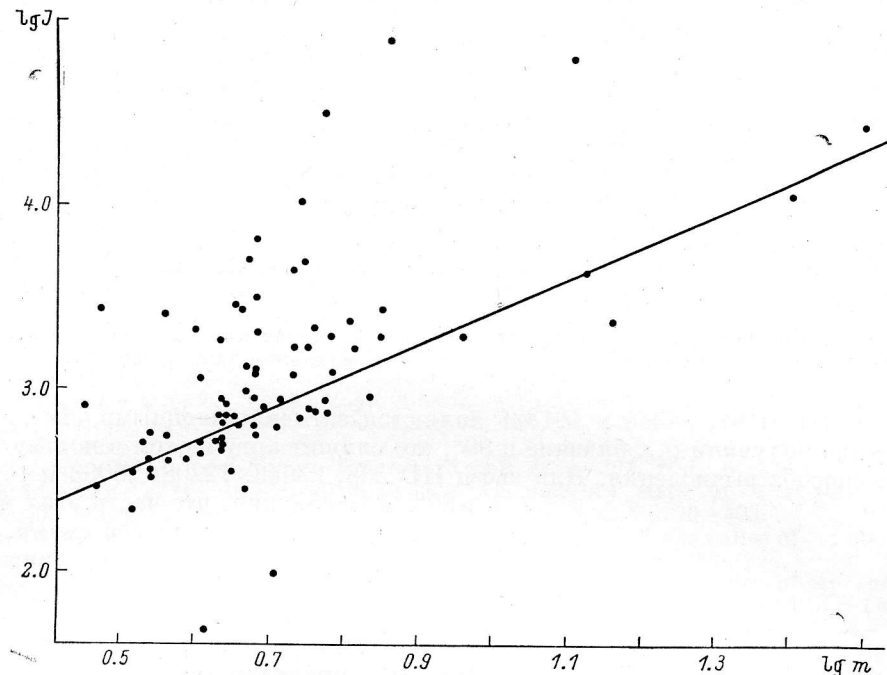


Рис. 2. Диаграмма масса—угловой момент.

Линия — универсальная зависимость Тримбл.

Распределение углов  $i_{\text{орб}}$  приведено на рис. 5. При случайному распределении векторов орбитального момента в пространстве следовало бы ожидать, что это распределение будет пропорционально  $\sin i$ . Различие между ожидаемым и на-

ТАБЛИЦА 9

Параметры апсидного движения

НД	$T_0$	$\omega$	$P_{\text{орб}}/i_{\text{орб}}$	$K$	$\dot{\omega}_{\text{рабл}}/\dot{\omega}_{\text{теор}}$	$\dot{\omega}_{\text{кл}}/\dot{\omega}_{\text{рел}}$
					6	7
1	2	3	4	5		
26961	18956.64	271.	1.5274	39.4	7.13E-3	2.67E-2
	40001.58	111.	22.1	64.4	2.73E-2	5.98E-4
32964	23087.58	335.9	5.52273	100.7	2.79E-4	2.18E-4
	41384.13	341.	73.5	103.8	3.17E-4	9.88E-5
98088	34419.43	317.0	5.90513	73.4	3.50E-4	5.85E-5
	41847.74	314.4	90.	98.5	1.19E-4	6.00E-5
173524	27945.34	155.5	9.18	25.1	1.45E-3	6.22E-5
	40003.22	173.	17.1	29.5	1.07E-4	4.51E-5

блудаемым распределениями связано, по-видимому, с ошибками определения угла  $i$ . Выражение для величины этой ошибки  $\Delta i$  можно получить, если про-дифференцировать уравнение

$$i = \arcsin [f^{1/3} (m_1 + m_2)^{2/3} m_2^{-1}].$$

В производной появится множитель  $\{\text{Sgrt} [1 - f^{2/3}(m_1 + m_2)^{4/3}m_2^{-2}]\}^{-1}$ , из-за которого производная стремится к бесконечности при  $f^{1/3}(m_1 + m_2)^{2/3}m_2^{-1} \rightarrow 1$ , т. е. при  $i \rightarrow 90^\circ$ .

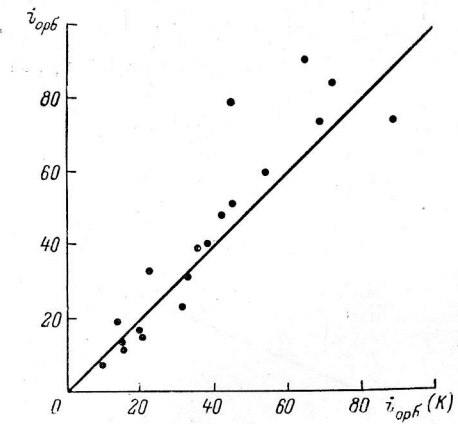


Рис. 3. Сравнение наклонов орбит Китамуры и найденных нами.

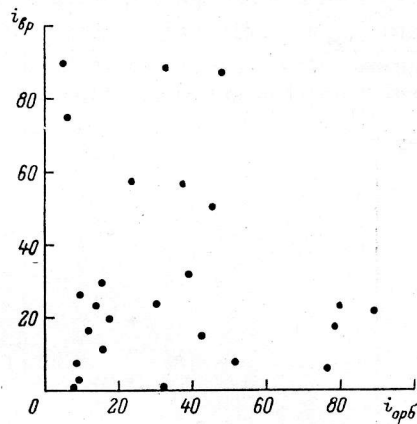


Рис. 4. Корреляция наклона орбит с наклоном оси вращения.

Звезды HD 4161, 34364 и 161321 являются затменно-двойными системами. Для них мы получили  $i_{\text{орб}}$ , близкие к  $90^\circ$ , что служит аргументом в пользу описанного способа вычисления. Для звезд HD 358, 23642, 72208, 98088 и 161701  $i_{\text{орб}} > 80^\circ$ , и, возможно, что часть этих звезд также окажется затмennыми системами.

У четырех звезд заподозрено движение линий апсид. Параметры апсидного движения приведены в табл. 9: колонка 1 — номер HD, 2 — начальные эпохи, 3 — долготыperiастра, 4 — орбитальный период и наклон плоскости системы, 5 — полуамплитуды лучевой скорости, 6 — наблюдаемое и теоретическое значения скорости движения линии апсид  $\dot{\omega}$ , град/сут, 7 — классическое и релятивистское значения для теоретических оценок  $\dot{\omega}$ .

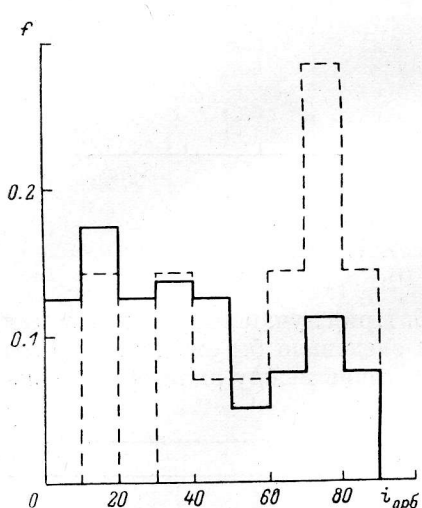


Рис. 5. Функция распределения угла наклона орбит. Сплошная линия — для всех систем, штриховая — только для двухспектровых.

Теоретические значения  $\dot{\omega}$  вычислялись из двух слагаемых: классическое [58] и релятивистское [59]:

$$\begin{aligned}\dot{\omega}_{\text{кл}} &= \frac{360}{P_{\text{орб}}} \left\{ K_{21} r_1^5 \left[ \frac{m_2}{m_1} 15f_2(e) + \left( \frac{P_{\text{орб}}}{P_{\text{вр}_1}} \right)^2 \left( 1 + \frac{m_2}{m_1} \right) \frac{1}{(1-e^2)^2} \right] + \right. \\ &\quad \left. + K_{22} r_2^5 \left[ \frac{m_1}{m_2} 15f_2(e) + \left( \frac{P_{\text{орб}}}{P_{\text{вр}_2}} \right)^2 \left( 1 + \frac{m_1}{m_2} \right) \cdot \frac{1}{(1-e^2)^2} \right] \right\}; \\ \dot{\omega}_{\text{рел}} &= \frac{360}{P_{\text{орб}}} \cdot \frac{3(K_1 + K_2)^2}{c^2 \sin^2 i},\end{aligned}$$

где

$$f_2(e) = (1 - e^2)^{-5} \left( 1 + \frac{3}{2} e^2 + \frac{1}{8} e^4 \right);$$

$P_{\text{орб}}$  — период орбитального движения;  $P_{\text{вр}_1}$ ,  $P_{\text{вр}_2}$  — периоды вращения компонентов;  $r_1$ ,  $r_2$  — размеры компонентов, выраженные в размерах орбит;  $K_{21}$ ,  $K_{22}$  —

параметры структуры звезд, значения которых вычислялись на основе данных работы [60], а значения  $P_{\text{вр}}$  брались равными  $P_{\text{оп}}/3$  в тех случаях, когда периоды вращения звезд были неизвестны.

Наблюдаемые и теоретические значения  $\omega$  весьма грубо согласуются друг с другом. Скудность статистики и большие неопределенности в наблюдаемых и теоретических значениях не позволяют пока сделать вывода о различиях структур ХПЗ и нормальных звезд, что возможно в принципе провести по значениям параметра  $K_{21}$ . Эта задача требует специального исследования.

### Литература

1. H e r c z e g T. Duplicity on the main sequence // Ap. Sp. Sci. 1984. 99, N 1—2. P. 29—39.
2. S z a b a d o s L. Binary stars among the physical variables // Commun. Konkoly Observ. Hung. Acad. Sci. 1982. N 83. P. 209—216.
3. A b t H. A. Normal and abnormal binary frequencies // Ann. Rev. Astron. Astrophys. 1983. Vol. 21. P. 343—372.
4. S c h o n e i c h W. Die Bahnneigung spektroskopischer Doppelsterne mit Ap-Komponenten und die axiale Rotationgeschwindigkeit der Ap-Sterne // Astron. Nachr. 1967. 290, N 1/2. S. 6164.
5. A b t N. A., S n o w d e n M. S. The binary frequency for Ap-stars // Astrophys. J. Suppl. Ser. 1973. 25, N 215. P. 137—162.
6. J a s c h e k C., J a s c h e k M. Rotation and binarity // IAU Coll. N 32: Phys. of Ap stars. 1975. P. 219—227.
7. Z e l w a n o w a E. Spectroscopic binaries with Ap components // Proc. of Third European Astron. meeting / Ed. E. K. Kharadze. Tbilisi, 1976. P. 171—174.
8. Z e l w a n o w a E., S c h o n e i c h W., N i k o l o v a S. Spektroskopische Doppelsterne mit Ap-Komponenten // Astron. Nachr. 1976. 297, N 5. S. 229—234.
9. K i t a m u r a M. Statistical problems of Am and Ap stars in short-period spectroscopic binaries // New Zealand J. of Sci. 1979. 22, N 4. P. 399—403.
10. K i t a m u r a M. On the surface distribution of chemical anomalies of Ap stars in spectroscopic binary systems // Ap. Sp. Sci. 1980. 68, N 2. P. 283—294.
11. K i t a m u r a M. The surface distribution of chemical anomalies of Ap components in detached close binaries // Close binary stars: observation and interpretation // IAU Symp. N 88 / Eds. M. J. Plavec, D. M. Popper, R. K. Ulrich, Dordrecht, 1980. P. 95—99.
12. S e g g e w i s s W. Chemically peculiar stars among spectroscopic binaries // Upper main sequence chemically peculiar stars, Coll. Leige N 23 / Eds. N. Cramer, A. Maeder, 1981. P. 183—188.
13. C o n t r i b u t i o n a l l'etude des spectres composites. II / N. Gineste, M. Jaschek, J. M. Carquillat et al. // Astron. and Astrophys. 1982. 107, N 2. P. 215—221.
14. G e r b a l d i M., F l o q u e t M., H a u c k B. Frequency of Bp—Ap stars among spectroscopic binaries // Astron. and Astrophys. 1985. 146, N 2. P. 341—351.
15. B a t t e n A. H., F l e t c h e r J. M., M a n n P. J. Seventh catalogue of the orbital elements of spectroscopic binary systems // Publ. Dom. Astr. Obs. 1978. 15, N 5. P. 121—295.
16. P e d o u s s a u t A., G i n e s t e t N. Binaries spectroscopiques — 11 catalogue complémentaire // Astron. Astrophys. Suppl. Ser. 1971. 4, N 3. P. 253—264.
17. P e d o u s s a u t A., C a r q u i l l a t J. M. Binaries spectroscopiques — 12 catalogue complémentaire // Astron. Astrophys. Suppl. Ser. 1973. 10, N 1. P. 105—124.
18. P e d o u s s a u t A., N o d a l R. Binaries spectroscopiques — 13 catalogue complémentaire // Astron. Astrophys. Suppl. Ser. 1977. 27, N 1. P. 55—77.
19. P e d o u s s a u t A., G i n e s t e t N., C a r q u i l l a t J. M. Binaries spectroscopiques — 14 catalogue complémentaire // Astron. Astrophys. Suppl. Ser. 1984. 58, N 3. P. 601—655.
20. H u b e D. P. Spectroscopic orbit of the stars HR 96 // Astron. Astrophys. Suppl. Ser. 1983. 53, N 1. P. 29—31.
21. S t i c k l a n d D. J., W e a t h e r b y J. Radial velocities of northern mercury stars // Astron. Astrophys. Suppl. Ser. 1984. 57, N 1. P. 55—68.
22. S c h o l z G. Spectroscopic investigations of the magnetic Ap stars HD 9996 // Astron. Nachr. 1978. 299, N 2. S. 81—85.
23. Л е б е д е в В. С. Орбиты шести спектрально-двойных ртутно-марганцевых звезд // Астрон. циркуляр. 1985. № 1397. С. 7—8.
24. G i e s e k i n g F., K a r i m i e M. T. Radial velocity studies of spectroscopic binaries with the objective prism. I. Improved orbital elements for binaries in and near NGC 2516 // Astron. Astrophys. Suppl. Ser. 1982. 49, N 3. P. 497—502.
25. S t i c k l a n d D. J., L o y d C., P i k e C. D. The orbit of HR 3361 (Hg) // Observatory. 1984. 104, N 1059. P. 74—76.
26. N a r i a i K. Orbit of the double-line spectroscopic binary HR 4072 (Ap) // PASJ. 1970. 22, N 1. P. 113—118.
27. W a l b o r n N. R. A radial velocity study of the chemically peculiar B stars Theta Cæninae // PASP. 1979. 91. P. 442—445.
28. T h e m a s s and other characteristics of the magnetic stars HD 98088 / H. A. Abt, P. S. Conti, A. J. Deutsch, G. Wallerstein // Astrophys. J. 1968. 153, N 1. P. 177—186.

29. M a i t z e n H. M., W o o d H. J. Variability of the Ap stars HD 116458 and HD 116890 // Astron. and Astrophys. 1977. 58, N 3. P. 389—391.
30. D w o r e t s k y M. M. Orbit of the spectroscopic binary cobalt stars HR 5049 // Observatory. 1982. 102, N 1049. P. 138—141.
31. E l s t E. W., N e l l e s B. A redetermination of the orbit of HD 123299 // Astron. Astrophys. Suppl. Ser. 1983. 53, N 2. P. 215—217.
32. H o c k e y M. S. Spectrophotometric observations of the magnetic variable HD 125248 // MNRAS. 1969. 142, N 4. P. 543—556.
33. D w o r e t s k y M. M. The binary manganese star Iota Coronae Borealis // MNRAS. 1980. 191, N 2. P. 521—532.
34. W a l k e r E. N., J o n e s D. H. P. The spectroscopic binary HD 184552 // Observatory. 1969. 80, N 972. P. 202—205.
35. W o l f f R. J. Orbit of the manganese star HR 8704 // PASP. 1974. 86, P. 173—175.
36. Б о л ь ш е в Л. Н., С м и р н о в Н. В. Таблицы математической статистики. М.: Наука, 1983. 416 с.
37. Л е б е д е в В. С. Статистическое изучение химически пекулярных звезд. III: Ускорение силы тяжести и массы звезд по контурам водородных линий // Астрофиз. исслед. (Изв. САО). 1986. 23. С. 59—64.
38. Л е б е д е в В. С. Статистическое изучение химически пекулярных звезд. IV: Светимость звезд различных типов // Астрофиз. исслед. (Изв. САО). 1986. 23. С. 65—74.
39. Л е б е д е в В. С., Л е б ед е в а И. А. Фундаментальные параметры звезд Главной последовательности. 1987.
40. A d e l m a n S. J., P u r p e r D. M. Spectroscphotometry of peculiar B and A stars. II // Astron. J. 1979. 84, N 10, P. 1603—1611.
41. A d e l m a n S. J., P u r p e r D. M. Specrophotometry of peculiar B and A stars. III // Astron. J. 1979. 84, N 11. P. 1726—1738.
42. W h i t e R. E., P u r p e r D. M., A d e l m a n S. J. Spectrophotometry of peculiar B and A stars. IV // Astron. J. 1980. 85, N 7. P. 836—847.
43. A d e l m a n S. J. Spectrophotometry of peculiar B and A stars. V // Astron. and Astrophys. 1980. 86, N 4—2. P. 149—154.
44. A d e l m a n S. J. Spectrophotometry of peculiar B and A stars. VI // Astron. Astrophys. Suppl. Ser. 1980. 42, N 3. P. 289—298.
45. A d e l m a n S. J. Spectrophotometry of peculiar B and A stars. VII // Astron. Astrophys. Suppl. Ser. 1980. 42, N 3. P. 375—382.
46. A d e l m a n S. J. Spectrophotometry of peculiar B and A stars. VIII // Astron. Astrophys. Suppl. Ser. 1981. 43, N 1. P. 25—31.
47. A d e l m a n S. J. Spectrophotometry of peculiar B and A stars. IX // Astron. Astrophys. Suppl. Ser. 1981. 43, N 2. P. 183—190.
48. A d e l m a n S. J. Spectrophotometry of peculiar B and A stars. X // Astron. Astrophys. Suppl. Ser. 1981. 44, N 2. P. 265—272.
49. A d e l m a n S. J. Spectrophotometry of peculiar B and A stars. XI // Astron. Astrophys. Suppl. Ser. 1981. 44, N 2. P. 309—316.
50. A d e l m a n S. J. Spectrophotometry of peculiar B and A stars. XII // Astron. Astrophys. Suppl. Ser. 1982. 49, N 4. P. 663—672.
51. A d e l m a n S. J. Spectrophotometry of peculiar B and A stars. XIV // Astron. Astrophys. Suppl. Ser. 1983. 51, N 3. P. 511—531.
52. P u r p e r D. M., A d e l m a n S. J. Spectrophotometry of peculiar B and A stars. XIII // Astron. Astrophys. Suppl. Ser. 1983. 51, N 3. P. 365—384.
53. A d e l m a n S. J., P u r p e r D. M. Spectrophotometry of peculiar B and A stars. XV // Astron. and Astrophys. 1983. 118, N 2. P. 313—320.
54. P u r p e r D. M., A d e l m a n S. J. Spectrophotometry of peculiar B and A stars. XVII // Astron. Astrophys. Suppl. Ser. 1985. 59, N 3. P. 369—397.
55. E g g l e t o n P. P. Approximations to the radii of Roche lobes // Astrophys. J. 1983. 268, N 1. P. 368—369.
56. T r i m b l e V. The angular momentum-vs-mass relation for spectroscopic binaries // Ap. Sp. Sci. 1984. 104, N 1. P. 133—143.
57. Л е б ед е в В. С. Статистическое изучение химически пекулярных звезд. I. Звезды с известными периодами // Астрофиз. исслед. (Изв. САО). 1985. 21. С. 21—29.
58. S t e r n e T. E. Apsidal motion in binary stars // MNRAS. 1939. 99, N 5. P. 451—462.
59. F i n l e y - F r e u n l i c h E. Celestial mechanics. Pergamon Press, 1958. 458 p.
60. J e f f e r y C. S. Apsidal motion in Main Sequence binary stars // MNRAS. 1984. 207, N 2. P. 323—337.

Поступила в Редакцию  
31 октября 1985 г.